$M. A. Воробьев^{l \bowtie}, A. O. Кархов^{l,2}$

Влияние поверхностно-активных веществ на скорости всплытия пузырей в наклонном канале

¹Институт теплофизики им. С. С. Кутателадзе СО РАН, г. Новосибирск, Российская Федерация ²Новосибирский государственный университет, Новосибирск, Российская Федерация e-mail: vorobyev@itp.nsc.ru

Аннотация. Исследование посвящено анализу воздействия поверхностно-активных веществ (ПАВ) на размеры пузырьков газа и скорость их подъема в наклонном трубопроводе. Эксперименты проводились в трубе диаметром 32 мм при расходе газа 3 мл/мин и угле наклона 50°. Параметры пузырьков, включая их распределение по размерам и скорость движения, определялись методом теневой фотосъемки с последующей автоматической обработкой изображений. Изучались растворы с концентрацией этанола 0%, 1% и 3%. Результаты показали, что введение ПАВ снижает диаметр отрыва пузырей от капилляра и значительно уменьшает частоту их слияния в потоке.

Ключевые слова: наклонная труба, пузыри, коалесценция, поверхностно-активные вещества

 $M. A. Vorobyev^{1 \boxtimes}, A. O. Karhov^{1,2}$

Effect of surfactants on bubble rise velocities in an inclined channel

¹ Kutateladze Institute of Thermophysics SB RAS, Novosibirsk, Russian Federation ²Novosibirsk State University, Novosibirsk, Russian Federation e-mail: vorobyev@itp.nsc.ru

Abstract. This study investigates the effects of surfactants on gas bubble size distribution and ascent velocity in an inclined tube. Experiments were conducted in a 32 mm diameter tube at a gas flow rate of 3 mL/min and an inclination angle of 50°. Bubble parameters, including size distribution and velocity, were analyzed using shadow photography combined with automated image processing. Ethanol solutions with concentrations of 0%, 1%, and 3% were tested. The results demonstrate that surfactant addition reduces the capillary detachment diameter of bubbles and significantly suppresses coalescence frequency in the flow.

Keywords: inclined tube, bubbles, coalescence, surfactants

Введение

Пузырьковые течения широко применяются в технике благодаря уникальным свойствам, отсутствующим в однофазных потоках. Добавление газа в жидкость изменяет ее гидродинамику, например, усиливая тепло- и массообмен. Влияние газовой фазы зависит от комплекса факторов: расхода фаз, геометрии канала, направления потока и дисперсности пузырей. Точные данные о параметрах таких течений критичны для моделирования и повышения безопасности систем. Несмотря на обширные исследования восходящих и опускных потоков в

прямых каналах, работы по наклонным системам остаются редкими. Особенно мало изучены мелкодисперсные течения, хотя даже 1,5-2% газа способны значительно менять структуру потока и теплообмен. Эксперименты выявили пик теплопередачи при углах 30–45° [1], что подтверждено также численными моделями [2]. Контроль размера пузырей в наклонных каналах осложняется их слиянием, ведущим к переходу в снарядный режим. Решение этой проблемы связано с использованием поверхностно-активных веществ (ПАВ), которые подавляют коалесценцию [3] и стабилизируют пузырьковый режим. ПАВ могут влиять на диаметр отрыва пузырей [4] и их динамику, расширяя диапазон рабочих параметров, соответствующих пузырьковому режиму течения. Цель исследования — анализ воздействия ПАВ на распределение пузырей по размерам и скоростям при инжекции газа через капилляр в наклонном канале. Эксперименты проводились при вариациях расхода газа, угла наклона и расстояния от точки инжекции, что позволило оценить динамику дисперсности газовой фазы.

Методы и материалы

Экспериментальная установка (рис. 1) включала компрессор 1, подающий воздух через капилляр 2 (внутренний диаметр 0,2 мм) в жидкость. Расход газа измерялся и регулировался газовым контроллером Bronkhorst.

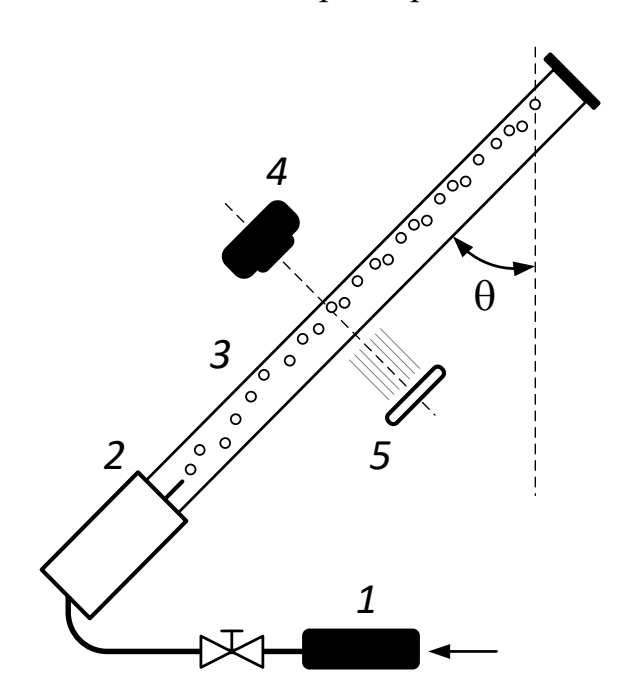


Рис. 1. Схема экспериментальной установки: 1 — система подачи газа; 2 — капилляр; 3 — рабочий участок; 4 — камера; 5 — LED-матрица.

Рабочий участок 3 представлял собой прозрачную трубу из оргстекла длиной 1,2 м и диаметром 32 мм. В качестве жидкости использовался водный раствор этанола. Съемка пузырей осуществлялась камерой Nikon Zfc (120 кадр/с) с подсветкой LED-матрицей. Изображения обрабатывались алгоритмом на базе OpenCV, определяющим диаметр пузыря через эквивалентную площадь и ско-

рость при сравнении последовательных кадров. Расстояние от точки ввода газа до зоны съемки составляло L=400 мм, угол наклона трубы от вертикали $\theta=50^\circ$, расход газа $Q_g=3$ мл/мин. Эксперимент проводился при массовых концентрациях этилового спирта 0,1,3%. Температура рабочей жидкости поддерживалась равной $25^\circ\mathrm{C}$.

Результаты

На рис. 2 приведено сравнение результатов, полученных при расходе газа 3 мл/мин в чистой воде, в 1% и 3% спиртовом растворе, измерения проводились на расстоянии 400 мм вдоль канала от точки ввода газа. По вертикальной оси отложено отношение объема пузырей из выборки в заданном диапазоне размеров к полному объему газа в выборке. Видно, что наличие ПАВ приводит к уменьшению отрывного диаметра пузырей, что качественно согласуется с соотношением $d_b \sim \sigma^{1/3}$ из [4], где d_b — диаметр пузыря, σ — коэффициент поверхностного натяжения. Также, наличие поверхностно-активного вещества существенно снижает вероятность коалесценции пузырей по пути следования вдоль наклонной поверхности. При использовании в качестве рабочей жидкости дистиллята наблюдается активное объединение пузырей, что приводит к полному исчезновению первичного пика на гистограмме, соответствующему пузырям отрывного диаметра. В случае использования раствора ПАВ (и 1%, и 3%), как видно на гистограмме, наибольшая часть объема воздуха транспортируется пузырями отрывного диаметра.

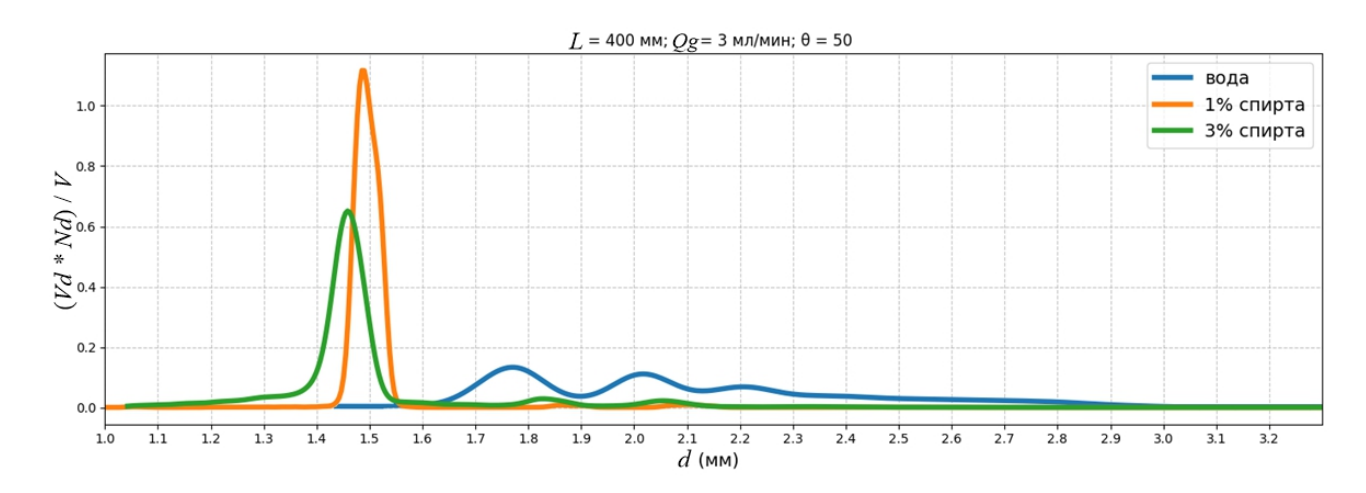


Рис. 2. Распределение пузырей по размерам

На рис. З представлены распределения пузырей по скоростям в зависимости от диаметра. Видно, что, когда в качестве рабочей жидкости используется дистиллированная вода, наблюдается полидисперсное течение — спектр по размерам пузырей практически непрерывен. При этом средняя скорость пузырей монотонно возрастает от 0,15 до 0,2 м/с при увеличении размера пузыря. При добавлении ПАВ большая часть газа концентрируется в пузырях нескольких раз-

меров — отрывного диаметра, двойного и тройного объемов. Можно заметить существенной разброс по скоростям всплытия в случае 3% спирта и для пузырей отрывного диаметра для 1% спирта. Также, в отличие от случая чистой воды, при добавлении ПАВ не наблюдается явной тенденции к росту скорости всплытия пузырей с увеличением их размеров. Это связано с тем, что пузыри большего объема догоняют кластеры из маленьких пузырей, из-за добавления ПАВ это не приводит к их коалесценции, крупные пузыри упираются в мелкие и всплывают со скоростью, определяемой скоростью всплытия пузырькового кластера.

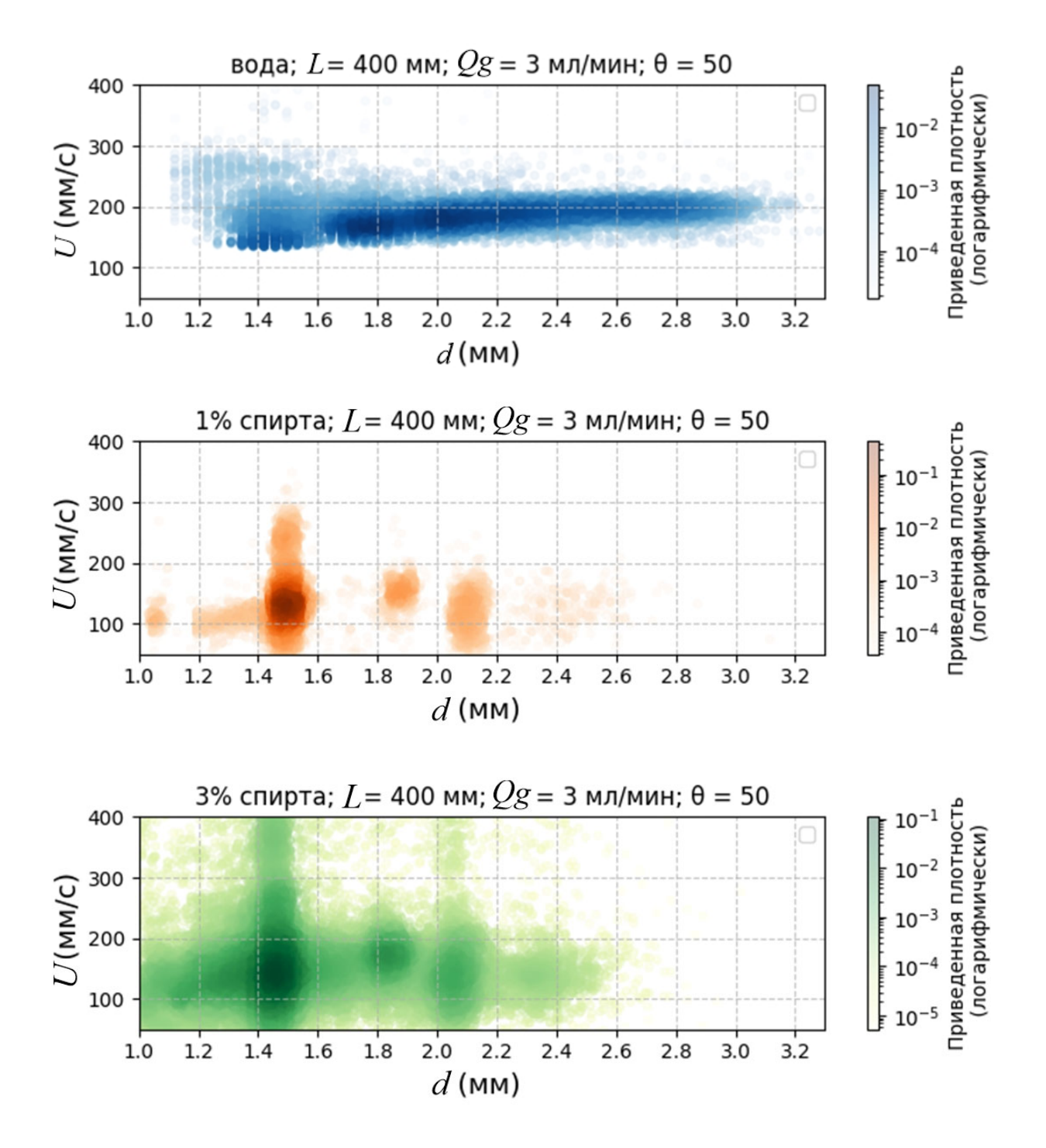


Рис. 3. Распределение пузырей по скоростям

Заключение

Было проведено экспериментальное исследование распределений по размерам и скоростям всплытия пузырей, формирующихся на одиночном капилляре в покоящейся жидкости с содержанием поверхностно-активных веществ в наклонном канале. Показано, что добавление в воду спирта в качестве поверхностно-активного вещества существенно изменяет дисперсный состав газожидкостной смеси. Обнаружено значительное подавление процесса коалесценции пузырей по пути следования вдоль наклонной поверхности. Добавление ПАВ приводит к тому, что скорость всплытия отдельный пузырей перестает расти с увеличением их размеров, а определяется скоростью всплытия пузырькового кластера, подавляющую часть которого составляют пузырьки отрывного диаметра.

Благодарности

Работа выполнена при финансовой поддержке в рамках государственного задания для Института теплофизики им. С.С. Кутателадзе Сибирского отделения РАН.

БИБЛИОГРАФИЧЕСКИЙ СПИСОК

- 1. A.V. Chinak, A.E. Gorelikova, O.N. Kashinsky, M.A. Pakhomov, V.V. Randin, V.I. Terekhov, Hydrodynamics and heat transfer in an inclined bubbly flow, Int. J. Heat Mass Transf. 118 (2018) 785–801. https://doi.org/10.1016/j.ijheatmasstransfer.2017.11.022.
- 2. S. Khodadadi, M.H. Taleghani, D. Domiri Ganji, M. Gorji-Bandpy, Heat transfer enhancement via bubble dynamics along an inclined wall, Int. Commun. Heat Mass Transf. 145 (2023) 106829. https://doi.org/10.1016/j.icheatmasstransfer.2023.106829.
- 3. Q. Xu, M. Nakajima, S. Ichikawa, N. Nakamura, P. Roy, H. Okadome, T. Shiina, Effects of surfactant and electrolyte concentrations on bubble formation and stabilization, J. Colloid Interface Sci. 332 (2009) 208–214. https://doi.org/10.1016/j.jcis.2008.12.044.
- 4. M. Jamialahmadi, H. Miiller-Steinhagen, Effect of alcohol, organic acid and potassium chloride concentration bubble size, bubble rise velocity and gas hold-up in bubble columns, 1992.

© М. А. Воробьев, А. О. Кархов, 2025